

А.И. Ольшанский, канд.техн.наук,
С.Г. Ковчур, канд.техн. науки,
В.И. Ольшанский

ВЛИЯНИЕ ОБЩЕЙ ПОРИСТОСТИ МАТЕРИАЛА НА ОСНОВНЫЕ КИНЕТИЧЕСКИЕ ХАРАКТЕРИСТИКИ ПРОЦЕССА СУШКИ СТРОИТЕЛЬНОЙ КЕРАМИКИ

Основными кинетическими характеристиками процесса сушки влажных материалов являются число Ребиндера (R_b), относительный температурный коэффициент сушки (B) и число Коссовича (Ko). Между данными величинами существует простая связь

$$B = R_b \cdot Ko = \frac{c \cdot dt}{r \cdot dU} \cdot \frac{r \bar{U}_o}{c \cdot T_c} = \frac{dt/T_c}{d\bar{U}/\bar{U}_o} = b \frac{T_c}{\bar{U}_o}, \quad (1)$$

где $b = dt/d\bar{U}$ -- температурный коэффициент сушки, c -- теплоемкость влажного тела, r -- теплота парообразования, T -- температура среды, \bar{U}_o -- начальное влагосодержание (при расчете может приниматься $\bar{U}_o = \bar{U}_{kr}$).

Перенос тепла и вещества в пограничном слое у поверхности твердого тела при испарении из него жидкости в процессе сушки нельзя рассматривать отдельно от переноса тепла и вещества внутри тела и, следовательно, от его капиллярно-пористой структуры. В связи с этим представляют интерес вопрос исследования влияния пористой структуры тела на основные кинетические характеристики процесса сушки, что приобретает определенное значение для практического использования результатов эксперимента.

Большое значение здесь имеет закон распределения пор по радиусам. Однако в процессе изучения закономерностей изменения среднего влагосодержания \bar{U} и средней температуры t материала не менее необходимой является и другая характеристика капиллярно-пористого тела -- его общая пористость

(П), представляющая отношение объема всех пор и пустот (V_n) к объему всего пористого тела (V).

$$\Pi = \frac{V_n}{V} . \quad (2)$$

Общая пористость может быть функцией координат и времени, если материал в процессе сушки деформируется [1,2]. Поэтому важным является вопрос выбора пористого материала для изготовления опытных образцов. Остановились на пористой керамике, ибо она в процессе увлажнения и сушки сохраняет свою пористую структуру и не деформируется.

Размеры пор и занимаемые ими объемы в настоящее время определяют различными методами -- адсорбции газов, паров и растворенных веществ; электронной микроскопии; рассеяния рентгеновских лучей под малыми углами; радиоактивных изотопов; вдавливания ртути [1].

Нами был выбран метод вдавливания ртути, как более простой и вместе с тем позволяющий с достаточной точностью определять требуемую характеристику. Исследование проводилось на порометрической установке типа ПА-ЗМ.

Известно, что жидкость, не смачивающая твердое тело (в нашем случае ртуть), может быть введена в его капилляры-поры только под давлением. Объем вдавленной в тело ртути и представляет собой V_n .

Расчет объема пор испытываемого образца производился на основании данных, получаемых при измерении сопротивления электрической цепи. Омметром замерялось сопротивление электрической цепи поромера при данной величине давления и с учетом константы дилатометра определялся объем ртути, вдавленной в поры испытываемого образца:

$$V = \frac{K(R_n - R_o) - \Delta V}{m} , \quad (3)$$

где K -- константа дилатометра; R_o -- начальное сопротивление цепи; R_n -- сопротивление цепи при данном равновесном давлении, ом; m -- навеска твердого тела; ΔV -- поправка на сжатие всего объема ртути в дилатометре.

Объем пор образца рассчитывался на основании разности сопротивления в начале и конце опыта. Давление в бомбе породостаточным для определения средней общей пористости.

Для получения образцов различной пористости использовался молотый черепок и сырой керамический порошок различной степени помола. Способ приготовления пористой керамики подробно описан А.С. Беркманом, И.Г. Гуревичем и Б.Н. Федоровым [1, 3, 4], а принцип работы поромёров высокого давления -- Т.Г. Плаченовым, И.М. Камакиным, Н. Риттером и С. Дрейком [5--7].

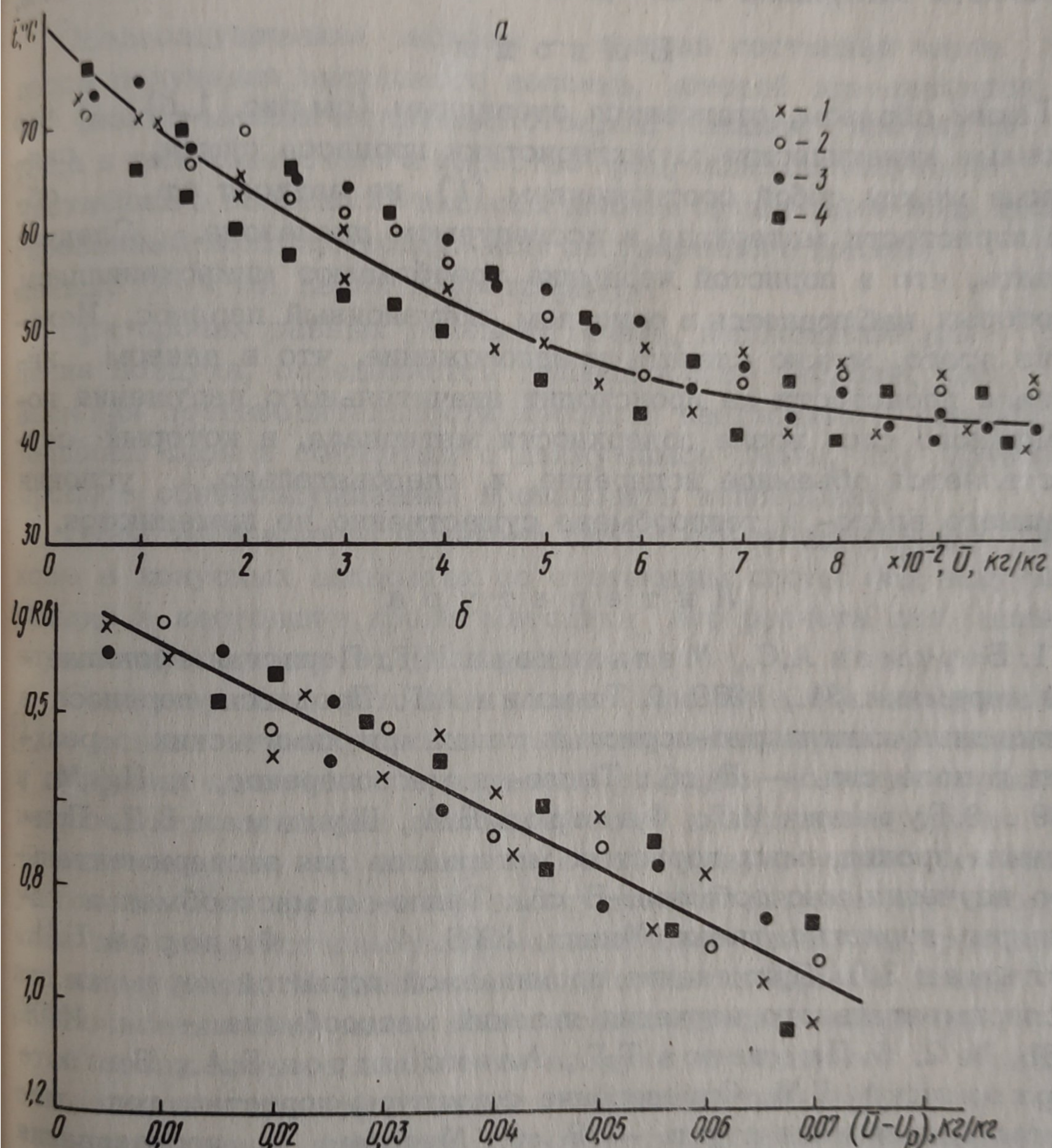


Рис. 1. Зависимость в процессе конвективной сушки влажной строительной керамики между: а -- средней температурой и влагосодержанием; б -- $\lg R_b$ и \bar{U} . Общая пористость: 1--10%, 2--25, 3--31, 4--37%.

С целью получения надежных результатов каждый эксперимент проводился трижды в широком интервале изменения режимных параметров процесса сушки ($t_c = 80-120 {}^{\circ}\text{C}$; $v =$

= 3—20 м/с; $\varphi = 5\%$). На рис. 1,а приведена температурная кривая $\bar{t} = f(\bar{U})$, на рис. 1,б — зависимость между $\lg R_b$ и \bar{U} для пористой керамики при режиме сушки $t = 80^\circ\text{C}$, $v = 4 \text{ м/с}, \varphi = 5\%$. Из рис. 1,а видно, что температурный коэффициент сушки (b), определяемый как тангенс угла наклона температурной кривой к оси влагосодержания, не зависит от пористости материала в интервале его изменения от 10 до 37%.

Выводы

Таким образом, становится очевидным (см. рис. 1,б), что основные кинетические характеристики процесса сушки, связанные между собой соотношением (1), не зависят от общей пористости материала в исследуемом диапазоне. Следует указать, что в пористой керамике преобладают микрокапилляры, в которых наблюдается в основном эффузионный перенос. Исходя из этого, можно сделать предположение, что в данном интервале пористости не происходит значительного нарушения пограничного слоя возле поверхности материала, в который осуществляется объемное испарение, и, следовательно, условия внешнего влаго- и теплообмена существенно не изменяются.

Литература

1. Беркман А.С., Мельникова И.Г. Пористая проницаемая керамика. М., 1969.
2. Темкин А.Г. Процессы переноса в коллоидных капиллярно-пористых телах при химических реакциях в поле сил. — В сб.: Тепло- и массоперенос, т. II, М., 1969.
3. Гуревич И.Г., Федоров Б.И., Шульман З.П. Применение проницаемых пористых материалов для экспериментального изучения массообмена. — В сб.: Тепло- и массообмен в капиллярно-пористых телах. Минск, 1965.
4. Федоров Б.И., Шульман З.П. Применение проницаемой пористой керамики для экспериментального изучения явлений массообмена. — ИФЖ, 1961, № 2.
5. Плаченов Т.Г., Александров В.А., Белопольковский Г.М. Определение структуры пористых тел методом вдавливания ртути. — В сб.: Методы исследования структуры высокодисперсных и пористых тел. М., 1953.
6. Камакин Н.М. Метод вдавливания ртути и его приложение для характеристики пористой структуры адсорбентов. — В сб.: Методы исследования структуры высокодисперсных и пористых тел. М., 1953.
7. Ritter H.L. Drake L.C. Ind. Eng. Chem. Annals, 1945, 17, 782.